

徳島大学工学部 正員 工修 児島 弘行
 徳島大学工学部 正員 工修 平尾 謙
 川崎重工業 K.K. 正員 工修 ○佐伯 邦

§1 まえがき

平面構造物の骨組により構成されるネットワークのモットボロジー的性質を利用してネットワーク解析と、弹性安定解析に応用する方法について述べる。

§2 基礎式の説明

弹性安定解析の静的荷重の結合方程式を説明し、弹性線形理論の場合のそれと比較する。

1) Stiffness matrix および Flexibility matrix

Fig-1 のように平面構造物に含

まれる任意の部材 I-F について、部材端点を原点とし、部材軸と直角とを一致させた部材固有の直交座標系 $\{z_i\}$ (Local 座標系) を設け、材端力 $\{T_i^I\} = \{N, Q, M\}_i$ および、
 材端変形量 $\{\delta_i^I\} = \{\delta_x, \delta_y, \theta\}_i$ の正方向を座標軸に準ずさせる。

いま、軸力による曲げ変形を考慮し
 Fig-1 の変形の微分方程式から、材端力と材端変形量との関係をまとめるとつぎのようになる。

$$T_i^I = \underline{K}_i u_i^I + \underline{F}_i u_i^I$$

$$T_i^F = \underline{F}_i u_i^F + \underline{F}_F u_i^F$$

ここで、I 端と F 端との材端力の関係は、

$$T_i^F = \underline{F}_i T_i^I$$

$$\underline{F}_i = \begin{bmatrix} -1 & 0 & 0 \\ 0 & -1 & 0 \\ (\underline{\delta}_N - \underline{\delta}_Q) & L & -1 \end{bmatrix}_i \quad (1)$$

となる。一方 \underline{K}_i と \underline{F}_i との間の関係は、

$$\underline{F}_i K_i = \underline{K}_i \underline{F}_i$$

$$\underline{K}_i = \begin{bmatrix} -1 & 0 & 0 \\ 0 & -1 & 0 \\ 0 & \frac{\ell Q_1}{4Q_1+3Q_2} & \frac{2Q_1+3Q_2}{4Q_1+3Q_2} \end{bmatrix}_i \quad (2)$$

となる。したがって

$$T_i^I = \underline{K}_i (u_i^I + \underline{F}_i u_i^F) = \underline{K}_i \delta_i \quad (3)$$

と表わされ、式(1)の第2式に、式(4)の関係を用いると

$$F^T F \tilde{U}_i = F^T (F K_i I_{2x2} + F F K_i F U_i') = I_{2x2} K_i I_{2x2} + I_{2x2} K_i F U_i = I_{2x2} K_i \delta_i \quad (5)$$

であるから、要素*i*の代表的な Stiffness matrix として、式(7)で表わされる $I_{2x2} K_i$ を用いてよい。したがって、式(1)の第2式は、つぎのように、1つの式で代表される。

$$T = K \delta \quad (6)$$

また、式(6)を δ について解けば、Flexibility matrix が求まり、式(7)のようになる。

$$K_i = \begin{bmatrix} \frac{EA}{l} & 0 & 0 \\ 0 & \frac{12EI}{l^3} q_3 & \frac{6EI}{l^2} q_2 \\ 0 & \frac{6EI}{l^2} q_2 & \frac{4EI}{l} q_3 \end{bmatrix}; \quad F_i = \begin{bmatrix} \frac{l}{EA} & 0 & 0 \\ 0 & \frac{12q_3}{3EIq_2(4q_3 - 3q_2)} & \frac{q_2}{-2EI(4q_3 - 3q_2)} \\ 0 & -\frac{q_2}{2EI(4q_3 - 3q_2)} & \frac{q_3}{EI(4q_3 - 3q_2)} \end{bmatrix} \quad (7)$$

ここで $I_{2x2} K_i > 0$ の場合

$$\text{または } I_{2x2} K_i < 0 \text{ の場合} \quad q_1 = \frac{\lambda l}{2} \frac{\sin \lambda l}{1 - \cos \lambda l} \quad q_2 = \frac{\lambda^2 l^2}{6} \frac{1 - \cos \lambda l}{2(1 - \cos \lambda l) - \lambda l \sin \lambda l} \quad (8)$$

$$q_1 = -\frac{\lambda l}{2} \frac{\sinh \lambda l}{1 - \cosh \lambda l} \quad q_2 = -\frac{\lambda^2 l^2}{6} \frac{1 - \cosh \lambda l}{2(1 - \cosh \lambda l) - \lambda l \sinh \lambda l} \quad (8)_2$$

と使い合けて計算し、 q_3, q_4 および q_5 は、これらを用いて、

$$q_3 = \frac{1}{4}(3q_2 + q_1), \quad q_4 = \frac{1}{2}(3q_2 - q_1) \quad q_5 = q_1 q_2 \quad (9)$$

と T_{f3}, T_{f2} なし

$$\lambda^2 = |I_{2x2} K_i| / EI$$

である。線形の場合には各係数は それぞれ、つぎのようである。

$$q_1 = q_2 = q_3 = q_4 = q_5 = 1 \quad F_i = S_i T_i = \begin{bmatrix} -1 & 0 & 0 \\ 0 & -1 & 0 \\ 0 & l & -1 \end{bmatrix}; \quad (11)$$

2) Rotation matrix

Fig-1 の要素*i*について 空間固定座標系 $O-xy$ (Global座標系) と Local座標系 (ダッシュでつづき) との対する諸量の関係は、

$$R_i = \begin{bmatrix} R_i \tilde{U}_i & F_i \tilde{U}_i' = R_i F_i U_i \\ \cos \alpha_i & \sin \alpha_i & 0 \\ -\sin \alpha_i & \cos \alpha_i & 0 \\ 0 & 0 & 1 \end{bmatrix} \quad (12)$$

$$\sin \alpha_i = \frac{y_i + (F \delta_{2i} - z \delta_{3i})}{l_i} \quad \cos \alpha_i = \frac{x_i + (F \delta_{3i} - z \delta_{2i})}{l_i} \quad (13)$$

$$l_i = \sqrt{(x_i + (F \delta_{3i} - z \delta_{2i}))^2 + (y_i + (F \delta_{2i} - z \delta_{3i}))^2}$$

である。ここで 有限度位を考慮しない場合、および、線形理論の場合、つぎのようにおけばよい。

$$F \delta_{2i} - z \delta_{3i} = 0, \quad F \delta_{3i} - z \delta_{2i} = 0 \quad (14)$$

3) Modified Incident Matrix

Release を含まない構造物では、部材変形量も、その部材が接続している節点変位で表すことができるので、式(6)および(12)の関係より、変形の連続条件は、

$$\delta = sQ u \quad (15)$$

となり、 sQ は枝と節点との連結関係より、つぎの内容をもっている。

$$sQ_{ij} = \begin{cases} R_i & 枝要素 i が節点 j に正連結のとき \\ sT^T R_i & 枝要素 i が節点 j に負連結のとき \\ 0 & 枝要素 i が節点 j に非連結のとき \end{cases}$$

つぎに Global 座標系に対する外力 P と構造力 T' との関係は、

$$P = F Q T' \quad (16)$$

と表され、 FQ の要素 FQ_{ij} は、枝と節点との連結関係より、つぎの内容をもっている。

$$FQ_{ij} = \begin{cases} R_j T & 枝要素 i が節点 j に正連結のとき \\ R_j T^T & 枝要素 i が節点 j に負連結のとき \\ 0 & 枝要素 i が節点 j に非連結のとき \end{cases}$$

そこで、静的荷重の釣合方程式は、式(6)(15)および(16)より

$$(FQ K_s Q) U = P \quad (17)$$

となる。

線形理論の場合には、

$$FQ^T = sQ = Q \quad (18)$$

であり、静的荷重の釣合方程式は、つぎのようになる。文献 1)

$$(Q^T K Q) U = P \quad (19)$$

4) 解の求め方

式(18)と(19)について解けば、

$$U = (FQ K_s Q)^{-1} P \quad (20)$$

となり、節点変位が求まるが、この場合には、枝端力と、枝端変位との関係は、軸力を考慮するため、非線形関係となるので、まず、軸力を無視した式(19)より近似解をもとめ、つぎに、この近似解をもといて、式(20)を解き、解が収束するまでくりかえせばよい。

また、安定解析の方法としては、座屈方程式の固有値から座屈荷重を求める方法と、静的荷重の釣合方程式の俠数行列の determinant の正負を判定し、この値と零とすら最小の荷重強度を求める荷重漸増法があるが、ここでは、解析の途中の変形状態が、追跡できる後者の方法を採用した。

§3. 解析上の仮定

この解析で用いた主な仮定を挙げれば、つぎのようである。

- 1) 部材の使う座屈および局部座屈は、考慮しない。
- 2) 構造物が座屈を起こすまでに塑性化部材は出現しないものとする。
- 3) 荷重とともに、漸増荷重ひげを考へる。
- 4) 部材は、等断面の直線部材とする。
- 5) 曲げによる軸方向の変化は考慮しない。

§4 計算例

以上の理論を用いて、京都大学大型計算機 FACOM 230-60 を対象として、プログラミングと、

行ない、Fig-2はネットワーク分析をもつラーメンの解析を行なう。

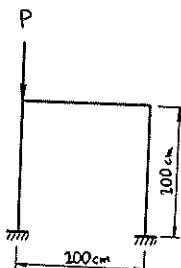
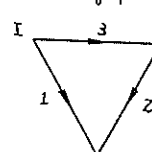


Fig-2

Linear graph



Incident matrix

Node	I	II
Branch		
1	1	0
2	0	1
3	1	-1

荷重強度 P	determinant の値
51.56 (t)	0.7609×10^{33}
72.24	0.3054×10^{33}
93.54	0.8165×10^{31}
94.66	-0.1133×10^{32}

table-1

Table-1 より 座屈荷重は、 $93.54^{\pm} \sim 94.66^{\pm}$ の間と表す。文献(4)での、通常の変形法によらず解析では、 94.66^{\pm} における妥当な座屈荷重が求められた。

5 結論

弾性安定解析では、曲げモーメントによる可動力の影響を考慮するため、従来のネットワーク理論で用いられた Modified Incident Matrix を、そのままの形で、適用することはできない。
そこで、(4)および(5)を新しい Modified Incident Matrix を説導し、解析に組み込んだ。
さらに、式(20)を解く場合、Householder 法を適用すれば、ネットワーク理論のより組織的、能率的な手法となり、電子計算機の使用に適している。

なお、プログラミングの際、Incident matrix は、そのままデータとして与えられ、構造が複雑になると、データ数が非常に多くなるので、この点を改良して、両端の節点番号をデータとして与え、計算機内で Incident matrix を SR 成すようになってデータ数の削減を行なった。

参考文献

- 1) F. L. DiMaggio & W. R. Spiller "Network Analysis of Structures" E. N. Proc. ASCE. Vol. 91 (1965) Jun.
- 2) A. S. Householder "A Survey of Some Closed Method for Inverting Matrices" Journal of Soc. of Ind. and Appl. Math. (1958)
- 3) S. J. Fenves & F. H. Branin "Network-Topological Formulation of Structural Analysis" S.T. ASCE. Vol. 92 (1966) Feb.
- 4) 幸尾 淳 "剛滑節構造物の安定解析につれての研究" S. 40.3. 修士論文.